

文章编号: 1001-6880(2010)05-0798-03

仙草中表儿茶素的结构鉴定

邱挺*, 林晓翠, 王碧玉

福州大学化学化工学院, 福州 350108

摘要: 通过高效液相色谱从仙草乙醇萃取物中分离并制备出样品, 利用紫外光谱、质谱、红外光谱、核磁共振方法鉴定其为表儿茶素, 从而建立了从仙草中分离制备表儿茶素的方法。

关键词: 仙草; 表儿茶素; 结构鉴定

中图分类号: Q503 R284.1

文献标识码: A

Identification of Epicatechin from *Mesona procumbens* Hemsl

QIU Ting*, LIN XIAO-CUI, WANG Bi-YU

College of Chemistry and Chemical Engineering, Fuzhou University, Fuzhou Fujian 350108, China

Abstract Sample was separated and prepared through HPLC from the ethanol extract of *Mesona procumbens* Hemsl and it was identified as epicatechin by ultraviolet spectrum, mass spectrum, infrared spectrum and NMR. The separation and preparation method for epicatechin from *M. procumbens* Hemsl was established.

Keywords *Mesona procumbens* Hemsl; epicatechin; identification

表儿茶素(Epicatechin)属于儿茶素类, 儿茶素类物质是一种重要的酚类物质。植物中的天然抗氧化成分除了生育醇、抗坏血酸、类胡萝卜素、生物碱之外, 酚类物质是分布最广、种类及含量最多的成分。经研究表明, 儿茶素类物质具有清除自由基、抑制肿瘤、抗诱变、抗病毒、降脂助消化、护肤美容等多种生物活性^[1]。

仙草(Hsian-tsaq *Mesona procumbens* Hemsl)属于唇形科草本植物, 在我国分布广泛。对其抗氧化成分的研究分析已表明, 仙草水萃取物的抗氧化性极佳, 强于生育醇, 稍优于二丁基羟基甲苯(BHT)^[2]。洪千雅等^[3,4]的研究结果表明, 仙草提取物中的主要抗氧化组分为原儿茶酸、咖啡酸、豆甾醇、熊果酸、山奈酚、芹菜素等, 其中主要为多酚类物质。而从仙草中提取分离制备得到表儿茶素还未见文献报道。

本文通过高效液相色谱从仙草乙醇提取物中分离制备出表儿茶素, 并通过紫外光谱、质谱、红外光谱、核磁共振四个方面对其进行结构鉴定, 从而建立了从仙草中分离制备表儿茶素的方法。

1 材料与方法

1.1 试剂与仪器

仙草: 购自建瓯, 全草 80 °C干燥后经粉碎, 通过35目筛网, 收集于密封袋中, 保存于 0~4 °C备用; 甲醇(色谱纯); 其它试剂均为分析纯。

Varian高效液相色谱仪, 配有 C₁₈液相色谱柱、PS210溶剂传输装置、ProStar330二极管阵列检测器、液相收集器 PS704 气相色谱-质谱联用仪, GC-MS2010(日本岛津公司); Vector 22 红外光谱仪(Bruker); Avance AMX-400核磁共振仪(Bruker); M F10B研磨机(德国)。

1.2 样品制备

取仙草粉末 10 g 以 100 mL 乙醇在 60 °C下萃取 2 h 连续萃取三次, 所得萃取液过滤后, 得仙草乙醇萃取液, 冷藏备用。萃取液先以分析型高效液相色谱寻找最佳分离条件, 再以此条件于制备型高效液相色谱进行重复收集与分离, 最终得到的样品, 在 55 °C下真空干燥, 卸压后氮气保护, 备用。制备的样品(为黄色无定形粉末)采用硫氰酸铁化法^[5]测定其抗氧化性, 结果证实其具有一定的抗氧化性。

1.3 液相色谱分析条件

色谱柱为 Varian Microsorb-MV C₁₈ 150 mm ×

4.6 μm, 流动相为甲醇:水 = 15% : 85%, 柱流速 1

收稿日期: 2009-03-20 接受日期: 2009-07-10
基金项目: 福建省科技厅重点资助项目(2007N0043)

* 通讯作者 Tel 86-591-22866234; E-mail tingqi@fzu.edu.cn

mL/min, 二级管阵列检测器检测波长 254 nm。PS704 自动收集器条件如下: Type = time windows; Rack = 3 mm tubes; Pattern = standard; Fraction by time; Fraction time = 10: 00; Flow delay = 0: 36; Window 1 start = 1: 15; end = 1: 45; Window 2 start = 1: 45; end = 2: 05; Window 3 start = 2: 05; end = 2: 35; Non-peak/window = drain。

2 结构鉴定

对得到的样品通过紫外光谱、质谱、红外光谱、核磁共振四个方面进行结构鉴定。

2.1 紫外光谱分析

将干燥后的样品用甲醇溶解后, 用紫外可见分光光度计进行检测, 结果如图 1 所示。

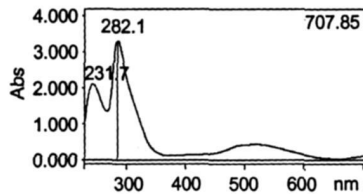


图 1 样品的紫外吸收光谱图

Fig. 1 UV spectrum of sample

由图中可知, 样品的最大紫外吸收峰 UV λ_{max} nm: 282.1, 231.7, 与表儿茶素的紫外吸收光谱的最大吸收峰^[6]: UV λ_{max} nm: 278, 227 很接近。

2.2 质谱分析

采用 EI 离子源, 将样品的 DMSO- d_6 溶液用直接进样杆(DI)进样进行质谱分析, 结果如图 2 所示。

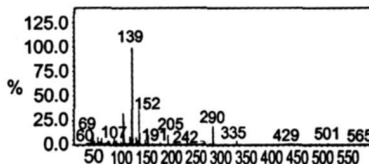


图 2 样品的质谱图

Fig. 2 Mass spectrum of sample

从图中可以看出, 样品结构发生开裂生成
 $\left[\begin{array}{c} \text{OH} \\ | \\ \text{C}_6\text{H}_4 \\ | \\ \text{CH}_3 \end{array} \right]^+$, $m/z = 139$ 。对总离子流图进行标准谱库匹配, 显示分子量为 290, 分子式为 $\text{C}_{15}\text{H}_{14}\text{O}_6$, 从而得到如图 3 所示的结构。

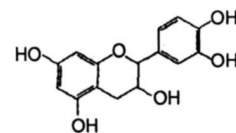


图 3 样品预测的结构图

Fig. 3 Proposed chemical structures of sample

2.3 红外光谱分析

将样品的 DMSO- d_6 溶液用涂膜法测定其红外吸收光谱, 结果如图 4 所示。

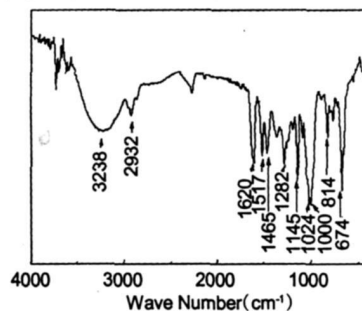


图 4 样品的红外光谱图

Fig. 4 IR spectrum of sample

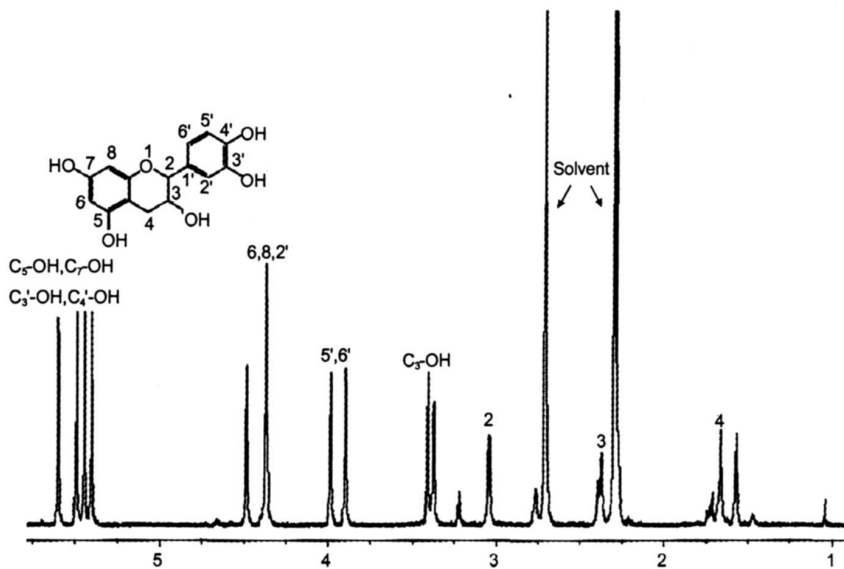
由质谱分析得, 样品的分子式为 $\text{C}_{15}\text{H}_{14}\text{O}_6$, 有六个不饱和度, 分子中可能有苯环。

在 IR(cm^{-1})图谱中, 有 3238, 2932, 1620, 1517, 1465, 1282, 1145, 1024, 1000, 814, 674 等主要吸收峰。其中, 3238 cm^{-1} (s) 峰型钝, 并且展宽, 为-OH 吸收峰; 2932 cm^{-1} (m) 为 C-H 的伸缩振动; 1024 , 1000 cm^{-1} (s, 分裂的) 为 C-O-C 的特征吸收峰; 1465 , 1517 , 1620 cm^{-1} 为苯环骨架的振动吸收, 证明有芳环存在, 并且在 814 , 674 cm^{-1} (s) 有吸收, 说明样品中含有间位取代的苯基。

2.4 核磁共振分析

以 TMS 为内标物, DMSO- d_6 为溶剂, 对样品进行 ^1H NMR 分析, 结果如图 5 所示。

从 ^1H NMR 谱图中可以看出, δ 8.98 (1H, s, HO-Ar)、8.99 (1H, s, HO-Ar)、8.89 (1H, s, HO-Ar)、8.81 (1H, s, HO-Ar), 显示为与苯环 C 相接的 O-H 信号, 分别归属于 C5-OH, C7-OH, C3'-OH 和 C4'-OH 信号。 δ 8.98 (1H, s, H-Ar), δ 7.5 (1H, s, H-Ar) 与 δ 8.92 (1H, d, H-Ar) 显示为样品的 3 个 H 信号, 分别归属于 H6, H8 和 H-2' 信号。 δ 8.98 (1H, d, H-Ar) 和 δ 8.81 (1H, d, H-Ar) 显示为样品的两个邻芳氢信号, 这两个氢信号分别归属于 H-5' 和 H-6' 信号。

图 5 样品的 ^1H NMR谱图Fig. 5 ^1H NMR spectrum of sample

δ_4 7.6(1H, d HO-R)显示为与C相接的O-H信号,归属于C₃-OH信号。 δ_4 0.9(H, d H-C-Ar)显示为样品的CH信号,归属于H-2信号。 δ_2 7.8(H, q H-C-O)显示为样品的CH信号,归属于H-3信号。 δ_1 2.5(2H, d H-C-R)显示为样品的伯基CH信号,归属于H-4信号。

综合上述分析结果与表儿茶素的质谱、红外和紫外光谱等特性数据,可以确定样品为表儿茶素(Epicatechin),分子式为 $\text{C}_{15}\text{H}_{14}\text{O}_6$,结构式如图3中预测的结构一致。

3 结论

通过高效液相色谱分离并制备得到的样品,经结构鉴定为表儿茶素,为仙草中含有表儿茶素的首次报道,并对其进行抗氧化性能测定,结果证实其具有一定的抗氧化性,为仙草乙醇提取物的抗氧化组分之一。本文的研究结果对仙草中已分离纯化的酚类抗氧化成分进行了补充,为今后更全面地进行仙草抗氧化性的研究打下了基础。

参考文献

1 Wu SL(吴松兰), Zou H(邹洪). Analysis of catechins in

leaves of acer truncatum bunge by HPLC. *J Anal Sci*(分析科学学报), 2008, 24: 173-175

- 2 Kazuki H, Shinichi K, Michio Y. Natural antioxidants and active oxygen scavengers in food cosmetics and pharmaceuticals. *Chem Abstr*, 1996, 124, 200690r
- 3 Hung CY, Yen GC. Antioxidant activity of phenolic compounds isolated from *Mesona procumbens* Hemsl. *J Agric Food Chem*, 2002, 50: 2993-2997.
- 4 Hung CY, Yen GC. Extraction and identification of antioxidant components of H siantaso(*Mesona procumbens* Hemsl.). *Lebensm-Wiss u-Technol* 2001, 34: 306-311.
- 5 Mitsuuda H, Yasumoto K, Iwami K. Antioxidative action of indole compounds during the autoxidation of linoleic acid. *Eijyot Shokuryo* 1996, 19: 210-214
- 6 Lv HT(吕海涛), Sun HF(孙海峰), Qu BH(曲宝涵), et al. Simultaneous determination of six phenolic compounds in apple juice by high performance liquid chromatography. *Chin J Anal Chem*(分析化学), 2007, 35: 1425-1429